

線形計画法を用いた平面ラーメンの最適設計法

日本鋼管株式会社橋梁鉄構部 中 村 雄 治

§ 1 概 要

本論文では、A.I.S.C. 1963年度版の鋼構造設計仕様書⁽¹⁾に基いて、Fig. 1-1に示す、ビル建築によく用いられる矩形ラーメンの最重重量設計を、線形計画法を繰り返し適用することにより、求めるものである。この場合、設計変数として断面二次モーメントと、建物の各部寸法を考えている。設計の対象として考えられたラーメンは、最下階の柱脚固定、部材は、等断面のものと仮定する。用いられた電子計算機は、M.I.T.のコンピューターセンターのI.B.M 7094である。

又、本論文は、筆者ぶ、M.I.T.に留学中に修士論

文として、土木工学科のコーネル助教授の指導のもとに、完成したものである。

§ 2 最適設計法

建物のような構造物を設計する際、昔から構造技術者は、構造物を、予想される外力に対して、安全に、又、要求される機能を満足して、しかも、できるだけ安いコストで設計するように、経験と、試行錯誤に基いて、求めてきた。しかし、一般には、考えるべき設計変数があまりにも多いこと、最適設計を求める手法が確立していないことから、大体、最適設計法に近いであろうと思われるものを設計してきた。最近、電子計算機の著しい進歩により、正確な構造解析が行えるようになり、それに基いて、数多くの試算による経済的な構造設計を行えるようになってきた。又、特に経営学の分野で、最適設計の手法が急速に開発されつつあり、種々の問題を系統的に、解くことができるようになった。土木建築の構造設計の分野では、単純塑性理論による骨組の設計に、線形計画法が、1950年頃より、用いられてきたのは、良く知られていることである。この場合、制約条件式及び、目的関数が、線形変数の線形の関数で表わされるために、線形計画法が、直接に、適用できる。しかし、弾性設計の場合には、制約条件式及び、目的関数が、非線形になるために、線形計画法の単純な適用は不可能なため、確立された最適設計法の数は、少ない。

さて、最適設計法を定義してみよう。最適設計法とは、構造物に要求される種々の制約条件をすべて、同時に満足した上で、目的関数（構造物のコスト、或いは、重量等）を最小にする設計変数の組合せを得ようとするものである。

構造設計の際に、設計変数として考慮されるものは、次のようにある。

1. 構造形式（トラス、アーチ、ラーメン、シェル等）
2. 構造物の幾何学的条件（形、寸法等）
3. 材料（軟鋼、高張力鋼、アルミニウム等）

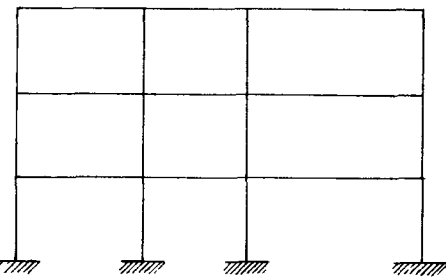


Fig. 1-1 Unbraced Frame

4. 部材の断面形状 (H - 200 × 100 × 5.5 × 8, STK - 139.8 φ × 4.0 等)

実際の構造設計で、これらの設計変数を、同時に考慮することは、組合せの数が莫大なものとなるために、困難になるので、構造設計者が、任意に、いくつかの変数を与えられるものとして、考慮するのが普通である。例えば、普通の設計の際には、断面形状だけが、変数と考えられる場合が多い。

又、制約条件として、一般に、次のものが考えられる。

1. 強度上から、弾性設計では、構造物各部分の応力度、許容応力度を越えてはならない。
2. 使用上から、構造物の節点の撓み等、許容の撓みより小さくなければならない。
3. 構造以外からの制約。即ち、建築法、設計技術等より要求される機能面からの制約で、柱の本数、階高、或いは、部材の背丈の最大寸法等である。

応力度と、撓みは、設計変数の函数として表わされ、構造物の状態を表わすので、状態変数と呼ばれる。従って、1, 2は、状態変数に対する制約であり、3は、設計変数自体の制約である。

目的函数として、一般にコストを考えるのが最も適当であるが、便宜的に、重量でそれを代用する場合が多い。特に、鉄鋼構造物の場合、コストは、重量に大体、比例すると考えて良いからである。この場合、最適設計法は、最小重量設計法と呼ばれる。

3 設計順序

3.1 設計順序

弾性設計の場合、目的函数或いは、制約条件式は、一般に、設計変数の非線形函数となる場合が多く、解くのに非線形計画法を適用しなければならない。既に、Steepest Descent Method を適用した例を見かけるが、ここでは、非線形函数を、線形函数に、その程度、近似して、線形計画法を適用し、それを繰返すことによって、解を求める Cutting Plane Method を用いる。既ち、弾性設計の方法を整理すると、次のように表わされる。ここで、

Z : 目的函数

X_i : 設計変数

Y_i : 状態変数

状態変数の制約条件式は

$$\left. \begin{array}{l} C_{11} \leq Y_1(X_1, X_2, \dots, X_n) \leq C_{12} \\ C_{21} \leq Y_2(X_1, X_2, \dots, X_n) \leq C_{22} \\ \vdots \\ \vdots \end{array} \right\} \quad (3.1)$$

設計変数の制約条件式は

$$\left. \begin{array}{l} D_{11} \leq X_1 \leq D_{12} \\ D_{21} \leq X_2 \leq D_{22} \\ \vdots \\ \vdots \end{array} \right\} \quad (3.2)$$

$C_{11}, C_{12}, \dots, D_{11}, D_{12}, \dots$ は、それぞれの制約条件の上限、下限を表わす。そして、目的函数も設計変数の函数であるので、 $Z(X_1, X_2, \dots, X_n)$ と表わされ、問題は、

(3.1), (3.2) の制約条件の下に、 Z を最小にすることとなる。

(3.1), (3.2) は、最初に仮定した設計変数を、 $X_1^0, X_2^0, \dots, X_n^0$ とし、そのまわりに、データー展開して、一次の項のみをとると、次の様になる。

$$\left. \begin{aligned} C_{11} - Y_1(X_1^0, X_2^0, \dots, X_n^0) &\equiv \frac{\partial Y_1}{\partial X_1} \Delta X_1 + \frac{\partial Y_1}{\partial X_2} \Delta X_2 \\ &+ \dots + \frac{\partial Y_1}{\partial X_n} \Delta X_n \equiv C_{12} - Y_1(X_1^0, X_2^0, \dots, X_i^0, \dots, X_n^0) \\ &\dots \\ D_{11} - X_1^0 &\equiv \Delta X_1 \leq D_{12} - X_1^0 \end{aligned} \right\} \quad (3.3)$$

そして、目的関数は、 $Z(X_1^0, X_2^0, \dots, X_n^0) + \frac{\partial Z}{\partial X_1} \Delta X_1 + \frac{\partial Z}{\partial X_2} \Delta X_2 + \dots + \frac{\partial Z}{\partial X_n} \Delta X_n$ となるが、最初の項、 $Z(X_1^0, X_2^0, \dots, X_n^0)$ は一定であるので

$$\frac{\partial Z}{\partial X_1} \Delta X_1 + \frac{\partial Z}{\partial X_2} \Delta X_2 + \dots + \frac{\partial Z}{\partial X_n} \Delta X_n \quad (3.4)$$

を最小にすることになる。従って、ここに $\Delta X_1, \Delta X_2, \dots, \Delta X_n$ を変数とすれば、ここに線形計画法を適用できる。これで、この論文の最も重要な点である。(3.3), (3.4) の $\frac{\partial Y_1}{\partial X_1}, \frac{\partial Y_1}{\partial X_2}, \dots, \frac{\partial Y_1}{\partial X_n}$ は、感度係数と呼ばれ、次章で説明する。

次に、全体の設計順序を Fig. 3-1 の Macro Flow Chart により説明する。

先ず、Input Data を読み込む。Input Data は、ここでは、矩形ラーメンであるから、建物の規模、幾何学的寸法、荷重条件等である。更に、設計変数の、仮定された初期値 X^0 も Input される。設計変数として、この論文では、部材の断面二次モーメントと、部材の位置を考えている。これらの Input Data から剛性マトリックス法により構造解析を行い、撓み、応力を求め、更に、各部の応力比を算定する。そして、A.I.S.C.による Interaction equation の値を計算する。これが Y^0 である。次に各状態変数の設計変数に対する感度係数を計算する。この感度係数と、制約条件式から、一連の線形計画法のための式を組立てた。これを Simplex 法で解く。この時得られた各設計変数の変化量 ΔX であり、もしこの変化量 ΔX が収斂条件として与えられた値より、小さくなれば、収斂したものと見做して、設計を終える。もし、条件を満足していないければ、前の設計変数の値に、求められた ΔX をそれぞれ、加えることにより、新しい設計変数

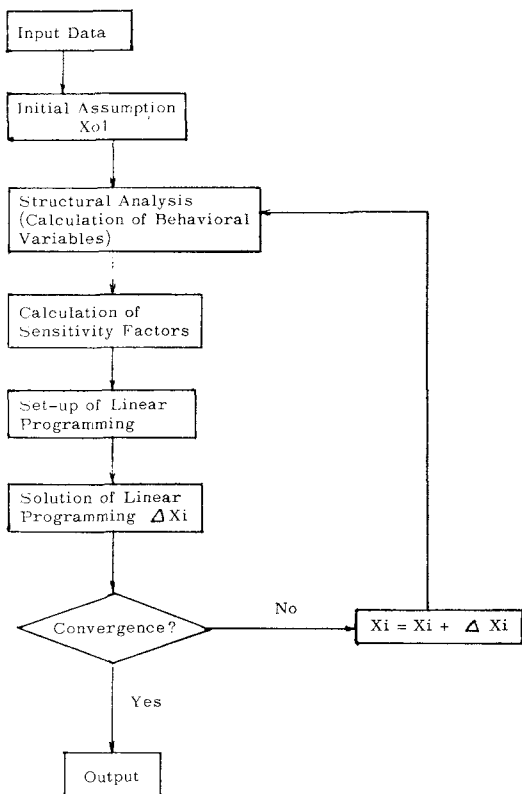


Fig. 3.1 Macro Flow Chart of the Design

を得る。そして、再び、構造解析を行ふ。後は全く同じ過程で、収敛条件が満足される迄、繰返えされる。この一連の設計の流れは、単純に見えるが、実際の問題の運用では、種々の工夫が必要とされる。この方法については、§4.6に説明する。

	Beam		Column		Weight of Structure
	$I_B (\text{in}^4)$	Stress*	$I_B (\text{in}^4)$	Stress*	
Initial	1600	0.6153	1600	0.7005	3.947
1 cycle	1120	0.7993	1120	0.8977	3.302
2 cycle	784	1.039	1005	1.017	2.982
3 cycle	818	1.002	1022	1.000	3.022
4 cycle	819	1.000	1023	1.000	3.023

*Stress means the value of the interaction equation of each member, accordingly, it must not be over unity.

Table 3.1 Design Process of Example 1

3.2 具体例

以上の説明を、具体的に理解するために、詳しい設計理論の説明の前に、最も簡単な例を述べる。梁に、等分布鉛直荷重を受けるポータルフレームの設計である。方法及び荷重条件はFig. 3.2に示す。ここでは、左右の柱の断面を一変数とし、図示できるようにある。仮定断面は、 $I_B = I_C = 1.600 \text{ in}^4$ である。設計の経過

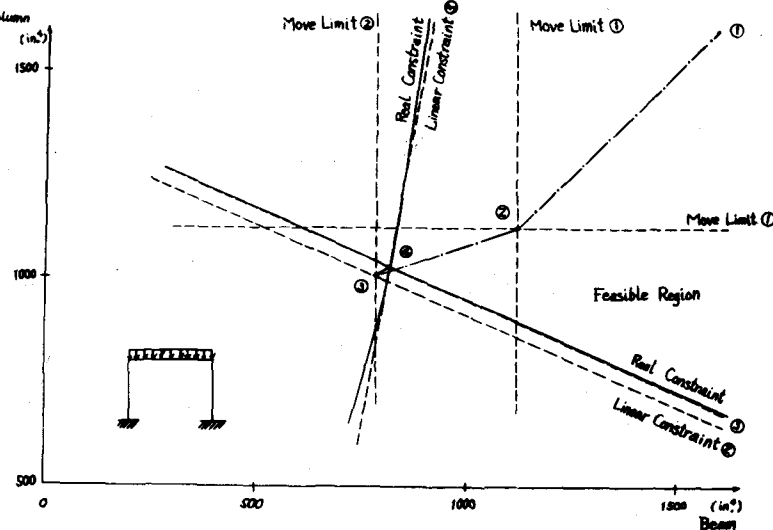


Fig. 3.2 Example 1

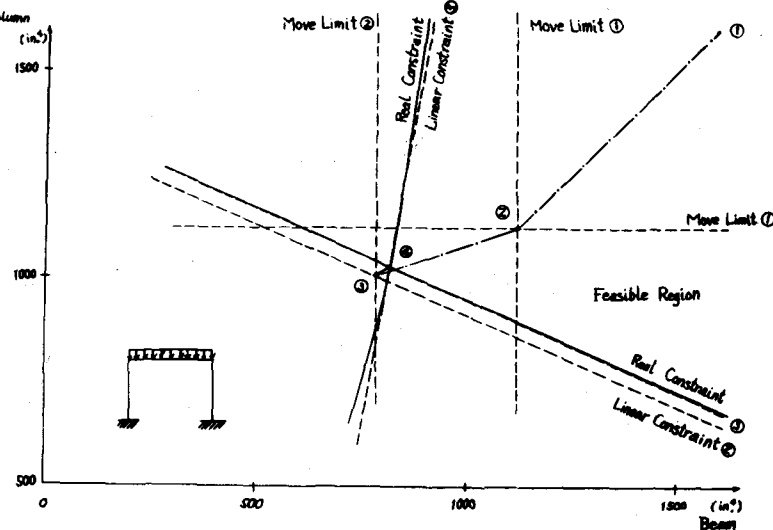


Fig. 3.3 Illustration of Design Process of Example 1

は、Table 3.1, Fig. 3.3に示す。第1サイクルでは、Move Limit で決まり、第2サイクルで、unfeasible の範囲に入り、第3サイクルで、殆んど最適解に収束している。最適解は $I_B = 819 \text{ in}^4$, $I_C = 1.023 \text{ in}^4$ である。

§ 4 設計理論

4.1 構造解析

構造解析は、剛性マトリックス法により行う。Fig. 4.1に於て

1. B点を固定した場合、A点の変位により、A点での部材応力は、

$$\begin{aligned} \tilde{F}_{AB} &= \begin{Bmatrix} N_{AB}' \\ S_{AB}' \\ M_{AB}' \end{Bmatrix} = \begin{bmatrix} \frac{EA}{l} & 0 & 0 \\ 0 & \frac{12EI}{l^3} & -\frac{6EI}{l^2} \\ 0 & -\frac{6EI}{l^2} & \frac{4EI}{l} \end{bmatrix} \begin{Bmatrix} \delta_{NA} \\ \delta_{SA} \\ \theta_A \end{Bmatrix} = \tilde{k}_{AB}' \cdot \tilde{D}_{AB} \quad (4.1) \end{aligned}$$

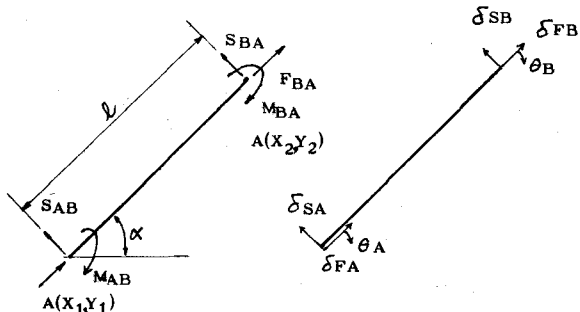
B奥での部材応力は

$$\tilde{F}_{BA} = \begin{Bmatrix} N_{BA} \\ S_{BA} \\ M_{BA} \end{Bmatrix} = \begin{bmatrix} -1 & 0 & 0 \\ 0 & -1 & 0 \\ 0 & -l & -1 \end{bmatrix}$$

$$\begin{Bmatrix} N_{AB} \\ S_{AB} \\ M_{AB} \end{Bmatrix} = C_{AB} \cdot \tilde{F}_{AB} \quad (4.2)$$

2. A奥を固定した場合、B奥の変位に

より、B奥での部材応力は



Force

Deformation

Fig. 4.1

$$\tilde{F}_{BA}'' = \begin{Bmatrix} N_{BA}'' \\ S_{BA}'' \\ M_{BA}'' \end{Bmatrix} = \begin{bmatrix} \frac{EA}{\ell} & 0 & 0 \\ 0 & \frac{12EI}{\ell^3} & \frac{6EI}{\ell^2} \\ 0 & \frac{6EI}{\ell^2} & \frac{4EI}{\ell} \end{bmatrix} \begin{Bmatrix} \delta_{NB} \\ \delta_{SB} \\ \theta_B \end{Bmatrix} = C_{AB}'' \cdot \tilde{D}_{BA} \quad (4.3)$$

A奥の部材応力は

$$\tilde{F}_{AB}'' = \begin{Bmatrix} N_{AB}'' \\ S_{AB}'' \\ M_{AB}'' \end{Bmatrix} = \begin{bmatrix} -1 & 0 & 0 \\ 0 & -1 & 0 \\ 0 & l & -1 \end{bmatrix} \begin{Bmatrix} N_{BA} \\ S_{BA} \\ M_{BA} \end{Bmatrix} = C_{BA} \cdot \tilde{F}_{BA}'' \quad (4.4)$$

となる。これらは、部材座標系について行われたが、構造座標系に変換されねばならない。変換マトリックス \tilde{T} は

$$\tilde{T}_{AB} = \begin{bmatrix} \cos \alpha & \sin \alpha & 0 \\ -\sin \alpha & \cos \alpha & 0 \\ 0 & 0 & 1 \end{bmatrix} \quad (4.5)$$

であるが、矩形ラーメンであるから、梁に對しては、 $\alpha = 0^\circ$ 、柱に對して、 $\alpha = 90^\circ$ である。
従って

$$\tilde{T}_{Beam} = \begin{bmatrix} 1 & 0 & 0 \\ 0 & 1 & 0 \\ 0 & 0 & 1 \end{bmatrix} \quad (4.6)$$

$$\tilde{T}_{column} = \begin{bmatrix} 0 & 1 & 0 \\ -1 & 0 & 0 \\ 0 & 0 & 1 \end{bmatrix} \quad (4.7)$$

従って、 \tilde{U}_{AB} , \tilde{U}_{BA} を、A奥, B奥の構造座標系に関する変位マトリックスとすれば、

$$\tilde{D}_{AB} = \tilde{T}_{AB} \quad \tilde{U}_{AB} \quad (4.8)$$

$$\tilde{D}_{BA} = \tilde{T}_{AB} \quad \tilde{U}_{BA} \quad (4.9)$$

そして、 \tilde{P}_{AB} , \tilde{P}_{BA} を構造座標系に関する節点外力のマトリックスとすれば

$$\tilde{F}_{AB} = \tilde{T}_{AB} \quad \tilde{P}_{AB} \quad (4.10)$$

$$\tilde{F}_{BA} = \tilde{T}_{AB} \quad \tilde{P}_{BA} \quad (4.11)$$

一方、各節点に関する応力のマトリックスは

$$\underline{F}_{AB} = \underline{F}'_{AB} + \underline{F}''_{AB} \quad (4.12)$$

$$\underline{F}_{BA} = \underline{F}'_{BA} + \underline{F}''_{BA} \quad (4.13)$$

で表わされる。従って、各節点について、次の式が成立する。

$$\underline{P}_{AB} = \underline{T}_{AB}^{-1} \underline{k}_{AB} \underline{T}_{AB} \underline{U}_{AB} + \underline{T}_{AB}^{-1} \underline{C}_{BA} \underline{k}_{AB} \underline{T}_{AB} \underline{U}_{BA} \quad (4.14)$$

$$\underline{P}_{BA} = \underline{T}_{AB}^{-1} \underline{C}_{AB} \underline{k}_{AB} \underline{U}_{AB} + \underline{T}_{AB}^{-1} \underline{k}_{AB} \underline{T}_{AB} \underline{U}_{BA} \quad (4.15)$$

そして更に

$$\left. \begin{array}{l} \underline{K}_{AA} = \underline{T}_{AB}^{-1} \underline{k}_{AB} \underline{T}_{AB} \\ \underline{K}_{BB} = \underline{T}_{AB}^{-1} \underline{k}_{AB} \underline{T}_{AB} \\ \underline{K}_{AB} = \underline{T}_{AB}^{-1} \underline{C}_{BA} \underline{k}_{AB} \underline{T}_{AB} \\ \underline{K}_{BA} = \underline{T}_{AB}^{-1} \underline{C}_{AB} \underline{k}_{AB} \end{array} \right\} \quad (4.16)$$

とすれば

$$\underline{P}_{AB} = \underline{K}_{AA} \underline{U}_{AB} + \underline{K}_{AB} \underline{U}_{BA} \quad (4.17)$$

$$\underline{P}_{BA} = \underline{K}_{BA} \underline{U}_{AB} + \underline{K}_{BB} \underline{U}_{BA}$$

これを全構造系でまとめると

$$\underline{P} = \underline{K} \cdot \underline{U} \quad (4.18)$$

従って

$$\underline{U} = \underline{K}^{-1} \cdot \underline{P} \quad (4.19)$$

となる。

但し、

\underline{K} : 全構造系の剛性マトリックス

\underline{U} : 全構造系の節点の変位マトリックス

\underline{P} : 節点に加わる外力のマトリックス

従って、全構造系の剛性マトリックスの逆行列に、外力マトリックスを乗すれば、各節点の変位が求まり、それにより、(4.1) ~ (4.4) より、各部材の応力を計算される。

4.2 Wide Flange Section の断面性能の相関関係

状態変数は、主として、断面積及び断面二次モーメントの関数であり、目的関数は、断面積の関数である。ここで、断面を設計変数として考えた場合、これらの断面性能に、一義的な関係が必要である。従って、A.I.S.C. 1963年度版の鋼構造設計仕様書に用いられている。Wide Flange Section の断面性能をプロットし、相互の関係を求める。(Fig 4.2, Fig 4.3参照)

梁の場合

$$S_x = 0.58 I_x^{3/4} \quad (4.20)$$

$$A = 0.58 I_x^{1/2} \quad (4.21)$$

柱の場合

$$S_x = 0.78 I_x^{3/4} \quad (4.22)$$

$$A = 0.80 I_x^{1/2} \quad (4.23)$$

$$r_y = 0.67 I_x^{1/4} \quad (4.24)$$

$$I_y = 0.36 I_x \quad (4.25)$$

4.3 許容応力度（状態変数の制約条件）

A.I.S.C. 1963年版鋼構造設計仕様書⁽¹⁾による。

1. 引張りの場合

$$F_t = 0.60 F_y \quad (4.26)$$

2. 曲げの場合

$$F_b = 0.66 F_y \quad (4.27)$$

3. 合成応力度の場合

$f_a/F_a \leq 0.15$ の時

$$\frac{f_a}{F_a} + \frac{f_b}{F_b} \leq 1.0 \quad (4.28)$$

$f_a/F_a > 0.15$ の時

$$\frac{f_a}{F_a} + \frac{C_m f_b}{(1 - \frac{f_a}{F_a}) F_b} \leq 1.0 \quad (4.29)$$

所で、梁に對しては、 $C_m = 0.6 + 0.4 \frac{M_1}{M_2}$
但し、0.4以上

柱に對しては、 $C_m = 0.85$ とし、もし
 $Kl/r \leq C_c$ の場合、

$$F_a = \frac{[1 - (\frac{Kl}{r})^2 / 2C_c^2] F_y}{F_S} \quad (4.30)$$

所で $F.S = \frac{5}{3} + \frac{3(Kl/r)}{8C_c} - \frac{(Kl/r)^3}{8C_c^3}$

$$C_c = \sqrt{\frac{2\pi^2 E}{F_y}} \quad \text{である。}$$

$Kl/r > C_c$ の時

$$F_a = \frac{149,000,000}{(Kl/r)^2} \quad (4.31)$$

更に、座屈長の係数は、下式により求め
る。 Sidesway のない場合には

$$\begin{aligned} \frac{G_A G_B}{4} \left(\frac{\pi}{4}\right)^2 + \left(\frac{G_A + G_B}{2}\right) \left(1 - \frac{\pi/K}{\tan(\pi/K)}\right) \\ + \frac{2 \tan(\pi/2K)}{\pi/K} = 1 \quad (4.32) \end{aligned}$$

Sidesway のある場合には

$$\frac{G_A G_B (\pi/K)^2 - 36}{6(G_A + G_B)} = \frac{\pi/K}{\tan(\pi/K)} \quad (4.33)$$

但し $G = \frac{\sum (I_c/l_c)}{\sum (I_g/l_g)}$ である。

(4.32), (4.33) 共 K の超越関数であるので、Trial and Error Method により、求める。

4.4 目的関数

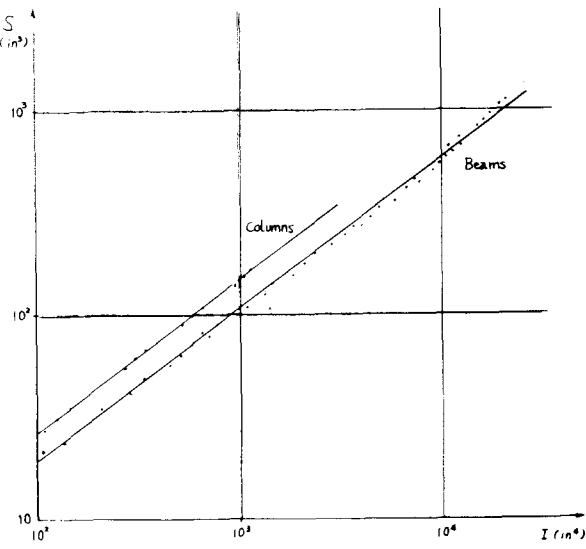


Fig. 4.2 S vs. I of Wide Flange Sections

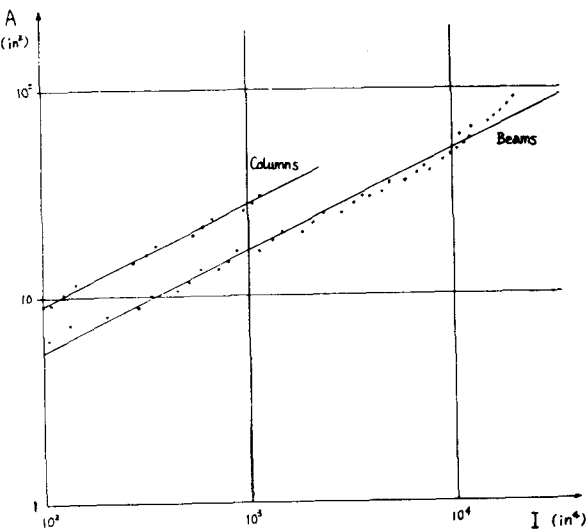


Fig. 4.3 A vs. I of Wide Flange Sections.

ここでは、目的関数として、構造物の重量を考えている。

従って

$$Z = \sum_{j=1}^n 0.58 I_j^{1/2} l_j + \sum_{k=1}^m 0.80 I_k^{1/2} l_k \quad (4.34)$$

但し、 γ : 比重

m : 柱の本数

n : 梁の本数

この目的関数を、ポータルフレームの Contour line として、例に示す。(Fig. 4.4)

原点から遠くなるに従って構造

重量が大きくなっていくが、非線形であることに注目すべきである。

4.5 感度係数

感度係数は、設計変数の微少の変化に対する状態変数 Y_i 又は 目的関数 Z の変化量を示す。そして、状態変数 又は 目的関数 Z の設計変数の一次偏微分で、近似的に表わし得る。

先ず、状態変数、部材の Interaction equation の値 Y_i は

$$Y_i = \frac{e M_i}{f_b S_i} + \frac{N_i}{f_a A_i} \quad (4.35)$$

所で $e = \frac{C_m}{1 - \frac{f_a}{F_e}}$ である。

故に 設計変数 I_j に対する感度係数は

$$a_{ij} = \frac{\partial Y_i}{\partial I_j} = \frac{e}{f_b S_i} \cdot \frac{\partial M_i}{\partial I_j} + \frac{1}{f_a A_i} \cdot \frac{\partial N_i}{\partial I_j} + \frac{e M_i}{f_b S_i} \frac{\partial}{\partial I_j} \left(\frac{1}{S_i} \right) + \frac{N_i}{f_a A_i} \frac{\partial}{\partial I_j} \left(\frac{1}{A_i} \right) \quad (4.36)$$

設計変数 l_j に対する感度係数は

$$a_{ij} = \frac{\partial Y_i}{\partial l_j} = \frac{e}{f_b S_i} \frac{\partial M_i}{\partial l_j} + \frac{1}{f_a A_i} \frac{\partial N_i}{\partial l_j} + \frac{N_i}{f_a A_i} \frac{\partial}{\partial l_j} \left(\frac{1}{A_i} \right) \quad (4.37)$$

目的関数 Z は

$$Z = \gamma \left(\sum_{i=1}^m \sum_{j=1}^n l_i A_{ij} + \sum_{i=1}^n \sum_{j=1}^m l_i A_{ij} \right) \quad (4.38)$$

$$C_j = \frac{\partial Z}{\partial l_j} = \gamma l_i \frac{\partial}{\partial l_j} (A_{ij}) \quad (4.39)$$

設計変数 l_j に対する感度係数 C_j は

$$C_j = \frac{\partial Z}{\partial l_j} = \gamma A_{ij} \frac{\partial l_i}{\partial l_j} \quad (4.40)$$

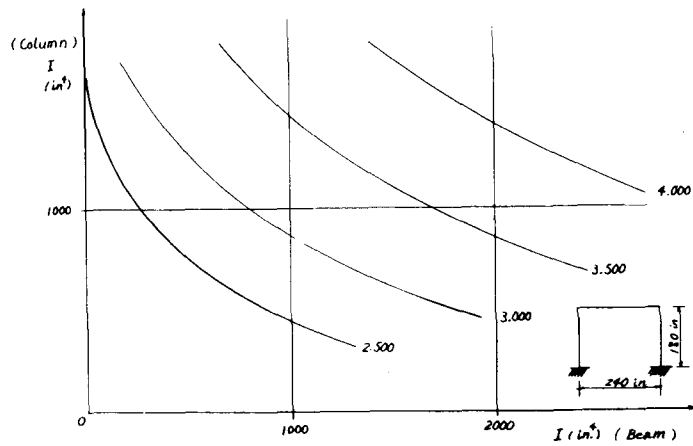


Fig. 4.4. Contour Line of Objective Function

である。これらの式の内 $\frac{\partial}{\partial I_f} \left(\frac{1}{S_f} \right)$, $\frac{\partial}{\partial I_f} (A_{if})$, $\frac{\partial}{\partial I_f} \left(\frac{1}{I_f} \right)$ は、Wide Flange Section の断面性能の関係式 (4.20), (4.21), (4.22), (4.23) より求まり、 $\frac{\partial}{\partial I_f} \left(\frac{1}{f_a} \right)$ は、許容座屈強度の式より求まる。次に $\frac{\partial M_c}{\partial I_f}$, $\frac{\partial N_c}{\partial I_f}$ を、構造解析の関係式より求めよう。

初めに仮定された断面による力と、その変位の関係式は (4.16) より

$$\underline{P}_0 = \underline{K}_0 \cdot \underline{U}_0 \quad (4.41)$$

次に、両辺の各項を微少量変化させ、その値を \underline{P}_1 , \underline{K}_1 , \underline{U}_1 とする。この場合も

$$\underline{P}_1 = \underline{K}_1 \cdot \underline{U}_1 \quad (4.42)$$

である。又

$$\begin{aligned} \underline{P}_1 &= \underline{P}_0 + \Delta \underline{P} \\ \underline{K}_1 &= \underline{K}_0 + \Delta \underline{K} \\ \underline{U}_1 &= \underline{U}_0 + \Delta \underline{U} \end{aligned} \quad \left. \right\} \quad (4.43)$$

であるから、これを (4.42) に代入し、二次の項を除くと

$$\Delta \underline{P} = \underline{K}_0 \cdot \Delta \underline{U} + \Delta \underline{K} \cdot \underline{U}_0 \quad (4.44)$$

従って、 X_i を設計変数とすれば

$$\frac{\partial \underline{P}}{\partial X_i} = \underline{K}_0 \cdot \frac{\partial \underline{U}}{\partial X_i} + \frac{\partial \underline{K}}{\partial X_i} \cdot \underline{U}_0 \quad (4.45)$$

この式の内、 K_0, U_0 は、既知であるので $\frac{\partial \underline{P}}{\partial X_i}$ を求めるために、 $\frac{\partial \underline{U}}{\partial X_i}$, $\frac{\partial \underline{K}}{\partial X_i}$ を求めれば良い。先ず、 $\frac{\partial \underline{K}}{\partial X_i}$ を求める。

設計変数が I_i の場合

$$\frac{\partial \underline{K}}{\partial X_i} = \frac{\partial \underline{K}}{\partial I_i} = \begin{bmatrix} \frac{E \partial A_i}{I_i \partial I_i} & 0 & 0 \\ 0 & \frac{12E}{l_i^3} & -\frac{6E}{l_i^2} \\ 0 & -\frac{6E}{l_i^2} & \frac{4E}{l_i} \end{bmatrix} \quad (4.46)$$

$\frac{\partial A_i}{\partial I_i}$ は、Wide Flange Section の断面性能の関係式から求まる。次に、設計変数が l_i の場合

$$\frac{\partial \underline{K}}{\partial X_i} = \frac{\partial \underline{K}}{\partial l_i} = \begin{bmatrix} -\frac{E A_i}{l_i^2} & 0 & 0 \\ 0 & -\frac{36EI_i}{l_i^4} & \frac{12EI_i}{l_i^3} \\ 0 & \frac{18EI_i}{l_i^3} & -\frac{4EI_i}{l_i^2} \end{bmatrix} \quad (4.47)$$

従って、 $\frac{\partial \underline{K}}{\partial X_i}$ は、(4.45), (4.46) の各項を全構造物にまとめると $\frac{\partial \underline{K}}{\partial X_i}$ を得る。

次に、 $\frac{\partial \underline{U}}{\partial X_i}$ は $\underline{U} = \underline{K}^{-1} \cdot \underline{P}$ の両辺を偏微分して、 $\frac{\partial \underline{U}}{\partial X_i} = \frac{\partial \underline{K}^{-1}}{\partial X_i} \cdot \underline{P} + \underline{K}^{-1} \frac{\partial \underline{P}}{\partial X_i}$ から得られる。この場合、 $\frac{\partial \underline{P}}{\partial X_i}$ は、外力が、設計変数に独立であれば、0 となる。等分布荷重の場合には、梁の長さにより、節点に加わる外力が変化するから、0 とはならない。

即ち、固定端モーメントは

$$\frac{\partial P}{\partial X_i} = \frac{\partial}{\partial l_i} \left(\frac{1}{12} w l_i^2 \right) = \frac{1}{6} w l_i$$

せん断力は

$$\frac{\partial P}{\partial X} = \frac{\partial}{\partial l_i} \left(\frac{1}{2} w l_i \right) = \frac{1}{2} w \quad \text{である。}$$

次に、 $\frac{\partial \mathbf{K}^{-1}}{\partial X}$ を求めよ。

部材 i に微少の剛性変化を与えると

$$\underline{k}_{i,i} = \underline{k}_{i,i}^0 + \Delta \underline{k}_{i,i} \quad (4.48)$$

である。従って、その時の新しい剛性マトリックス \mathbf{K}_1 は

$$\mathbf{K}_1 = \mathbf{K}_0 + \Delta \underline{k}_{i,i} = \mathbf{K}_0 \left(\mathbf{I} + \mathbf{K}_0^{-1} \cdot \Delta \underline{k}_{i,i} \right) \quad (4.49)$$

但し、 $\Delta \underline{k}_{i,i}$ は、注目する部材 i に関する部分だけ 0 でない要素であって、他の要素はすべて 0 とするマトリックスである。(4.47) の逆行列をとると

$$\begin{aligned} \mathbf{K}_1^{-1} &= [\mathbf{K}_0 \cdot (\mathbf{I} + \mathbf{K}_0^{-1} \cdot \Delta \underline{k}_{i,i})]^{-1} = (\mathbf{I} + \mathbf{K}_0^{-1} \cdot \Delta \underline{k}_{i,i})^{-1} \cdot \mathbf{K}_0^{-1} \\ &= [\mathbf{I} - \mathbf{K}_0^{-1} \cdot \Delta \underline{k}_{i,i} + (\mathbf{K}_0^{-1} \cdot \Delta \underline{k}_{i,i})^2 + \dots] \cdot \mathbf{K}_0^{-1} \\ &\approx (\mathbf{I} - \mathbf{K}_0^{-1} \cdot \Delta \underline{k}_{i,i}) \cdot \mathbf{K}_0^{-1} \\ &= \mathbf{K}_0^{-1} - \mathbf{K}_0^{-1} \cdot \Delta \underline{k}_{i,i} \cdot \mathbf{K}_0^{-1} \end{aligned} \quad (4.50)$$

従って

$$\Delta \mathbf{K}_1^{-1} = \mathbf{K}_1^{-1} - \mathbf{K}_0^{-1} = - \mathbf{K}_0^{-1} \cdot \Delta \underline{k}_{i,i} \cdot \mathbf{K}_0^{-1} \quad (4.51)$$

である。故に

$$\frac{\partial \mathbf{K}^{-1}}{\partial X} = - \mathbf{K}_0^{-1} \frac{\partial \underline{k}_{i,i}}{\partial X} \mathbf{K}_0^{-1} \quad (4.52)$$

4.6 良好な収斂を得る方法

この設計法によって、常に収斂するという保証はなく時に、後に示す例の様に、振動してしまう場合もある。従って、いくつもの方法が、そのために考案され採用された。

1. Move Limit

最初に仮定した設計変数が、解から非常に離れている場合、その奥から近似された線形の制約条件式や、目的関数は、実際のものから、非常に異っている場合がある。それにより得られる線形計画法による解が、非常に遠い解になる。それを避けるために、設計変形の変化に、上限及び下限を設け、設計変数の大きな変動を妨げるようとした。これをMove Limitと称する。ここには、元の設計変数の 20% 又は、30% としたが、この大きさが、収斂性にも、影響を与えるので、各々の設計条件、初期値に応じて、適当に与えるべきである。後の例に見るよう、初めは、Move Limit で制限されているが、最適設計に近づくにつれて、制約条件の方が、支配的になり、Move Limit の制限は無用になる。

2. Adaptive Move Limit

これは、反覆設計中一定のMove Limitではなく、その条件に応じて、Move Limit の値を変えていこうとするものである。特に、得られる設計変数が、1回づつ振動し、収束していない場合に用いられる。即ち、設計変数の変化量の符号が前の回と異なる場合には、Move Limit を半減させ、設計変数が、同一振巾で、振動することを防ぐために考案された。ポータルフレーム、片側水平荷重の場合に効果を発揮した。この場合、制約条件式と、目的関数の等高線が、ほぼ平行になるために、この現象が起った。

3. 制約条件の蓄積

Fig. 4.5 に示すように、最適設計が、制約条件式の交点に位置せず、一制約条件上に位置する場合、単なる線形計画法の適用では、最適設計は求められない。

そのため、前の回又は、その前の回に得られた制約条件の内、有効な制約条件のみを格納し、次の回の制約条件と一緒に適用する。その結果、実際には、一制約条件の上に位置する最適設計も、二つ又は、それ以上の近似平面の交点として得られる場合がある。

§. 5. 實例

この設計法により、多数の設計が試みられ、Ref. 5 には、その内19例について系統的に詳述されている。その数例をここに示す。

5.1 Example 2

構造規模：ポータルフレーム

荷重条件： σ_1, σ_2

荷重条件、柱頭に水平荷重 45 kips (対称的に左右から別々に載荷される。)

初期仮定断面：

$$\text{Ex. 2.1 } I_c = 1600 \text{ in}^4$$

$$I_B = 1600 \text{ in}^4$$

$$\text{Ex. 2.2 } I_c = 1.700 \text{ in}^4$$

$$I_B = 600 \text{ in}^4$$

Fig. 5.1, Fig. 5.2 に示されているように、初期仮定断面が全く異なるのに拘らず、同一の点に

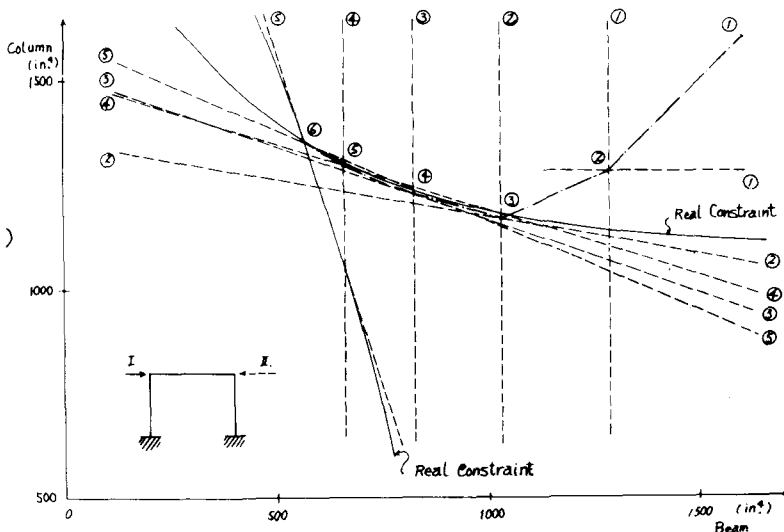


Fig. 5.1 Example 2 - 1

収斂している。この場合は、Fig. 4.4 の目的関数の性質からもこの点が Global optimum であることが分る。Ex. 2.1 では、Move Limit を 20 % としたが、初期仮定断面が最適断面からかなり遠い点にあたったので、収斂までに 6 サイクル要している。これは、最初の断面の仮定の良し悪しが、収斂の速さに影響を与えていることを示している。又、この最適設計の点では、Fully Stressed Design となっている。(Table 5.1 参照)

5.2 Example 3

構造規模：ポータルフレーム

荷重条件： σ_1 荷重条件、鉛直等分布荷重、0.5 kips/in, σ_2, σ_3 荷重条件、柱頭に水平集中荷重 45 kips (対称的に左右から別々に載荷される。)

初期仮定断面:

$$I_c = 1.600 \text{ in}^4$$

$$I_B = 1.600 \text{ in}^4$$

Fig. 5.3 に示すように、この場合は、Example 1 と Example 2 の制約条件が同時に作用するため、得られた最適断面は、前例とは全く異ったものとなる。柱が水平荷重時で梁が鉛直荷重時で Fully Stressed となっている。

そして、柱の断面は、この場合の方が Example 2 よりも小さくなっている。普通の設計方法では、これを期待すること

ができるない。

5.3 Example 4

構造規模: ポータルフレーム

荷重条件: 柱頭に左から水平集中荷重 45 kips

初期仮定断面: $I_c = 1.600 \text{ in}^4$

$$I_B = 1.600 \text{ in}^4$$

最初 Adaptive Move Limit を用いて設計した所、Fig. 5.5 に示すように、左右の柱の断面が振動してしまい、収敛しなかった。この現象は Hybrid Action として知られている。この Example では、Fig. 5.4 に示すように、制約条件が目的関数の Contour line に大体沿っているので最適断面を定めにくく。そこで Adaptive Move Limit を用いて強制的に収敛するようにした。この場合の設計過程は Table 5.2 に示される。

5.4 Example 5

構造規模: 1 スパン 2 層 ラーメン

荷重条件: 鉛直等分布荷重 0.5 kips/in

初期仮定断面: $I_B = 2.400 \text{ in}^4$

$$I_c = 2.400 \text{ in}^4$$

収敛状況は、Fig. 5.6 に示す。最適断面は、Fully Stressed Design によっている。得られた

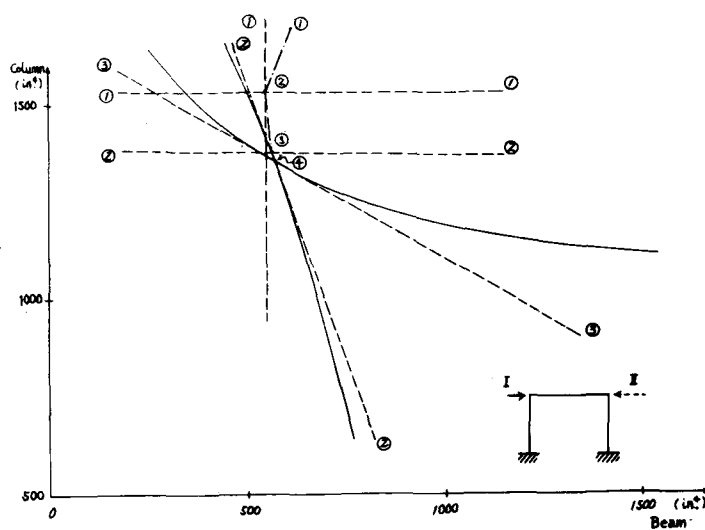


Fig. 5.2 Example 2 - 2

	Beam		Column		Weight of Structure
	$I_B (\text{in}^4)$	Stress	$I_c (\text{in}^4)$	Stress	
Initial	1600	0.5743	1600	0.7737	3.947
1 cycle	1280	0.6750	1280	0.9129	3.531
2 cycle	1024	0.7762	1165	0.9935	3.284
3 cycle	819	0.8631	1227	0.9891	3.203
4 cycle	655	0.9473	1294	0.9875	3.140
5 cycle	556	1.003	1355	0.9837	3.110
6 cycle	558	1.000	1361	0.9805	3.117

				0.8689	
Initial	600	0.9033	1700	0.8493	3.408
1 cycle	540	0.9748	1530	0.9189	3.233
2 cycle	552	1.001	1377	0.9753	3.125
3 cycle	558	1.000	1361	0.9805	3.117

Table 5.1 Design Process of Example 2

た構造重量は 5.497 kips で、同じ荷重条件を受けるボーダルフレームの構造重量の 2 倍よりもかなり小さいのは、非常に興味深い。この場合は Fig. 5.7 に示されるように、1 層の柱の断面ができるだけ小さくなり、殆んど軸力を伝えるだけになっており、2 層柱脚、1 層柱頭の部分の曲げモーメントは、殆んど 2 層の柱で抵抗している。即ち、ここでは、材料の集中化が、経済的な設計にあることを示している。

5.5 Example 6

構造規模：1 スパン 2 層ラーメン

荷重条件：#1 #2 荷重条件、各柱頭に水平集中荷重 45 kips (対称) に左右から別々に載荷される)

初期仮定断面： $I_c = 6400 \text{ in}^4$
 $I_B = 6400 \text{ in}^4$

Fig. 5.8 に見るように、非常に良好な収斂性を示している。この場合は、Example 5 と異なり、得られた構造物の形状は、普通期待される通りのものである。(Fig. 5.9 参照)

一般の構造物が、常に外力として、水平荷重も考慮して設計されていることを示すものである。

5.6 Example 7

構造規模：3 スパン 1 層ラーメン

荷重条件：鉛直等分布荷重 0.5 kips/in
 初期仮定断面： $I_c = 1200 \text{ in}^4$

$I_B = 1200 \text{ in}^4$

初期仮定スパン長： $\ell = 240 \text{ in}$

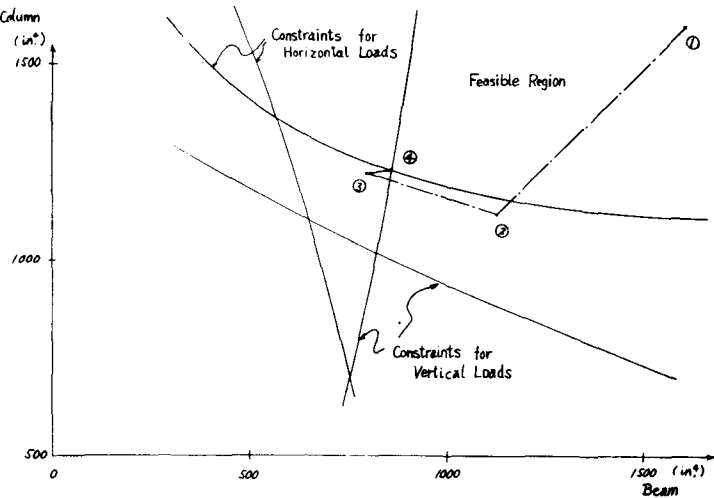


Fig. 5.3 Example 3

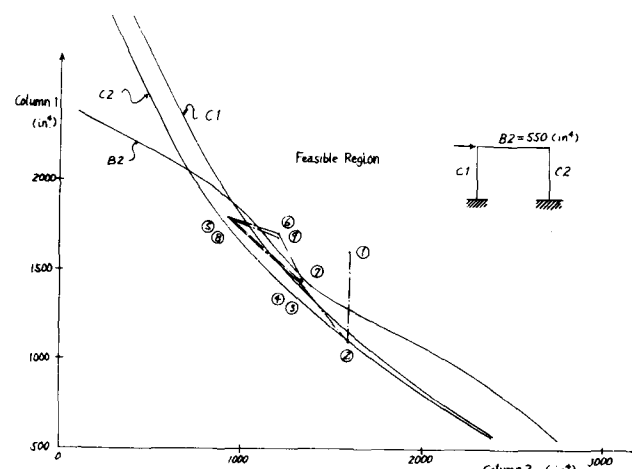


Fig. 5.4 Example 4 (Without Adaptive Move Limits)

	Beam		Column I		Column II		Weight of Structure
	I_B	Stress	I_{C1}	Stress	I_{C2}	Stress	
Initial	1600	0.5743	1600	0.7872	1600	0.7737	3.947
1 cycle	1120	0.7436	1120	1.023	1120	1.009	3.302
2 cycle	784	0.9018	1456	1.025	962	1.013	3.153
3 cycle	549	1.017	1584	1.017	1103	0.9909	3.086
4 cycle	572	1.002	1226	1.010	1433	0.9931	3.102
5 cycle	563	1.000	1267	1.000	1446	0.9833	3.116
6 cycle	563	1.000	1269	1.000	1447	0.9830	3.117

Table 5.2 Design Process of Example 4 (With Adaptive Move Limits)

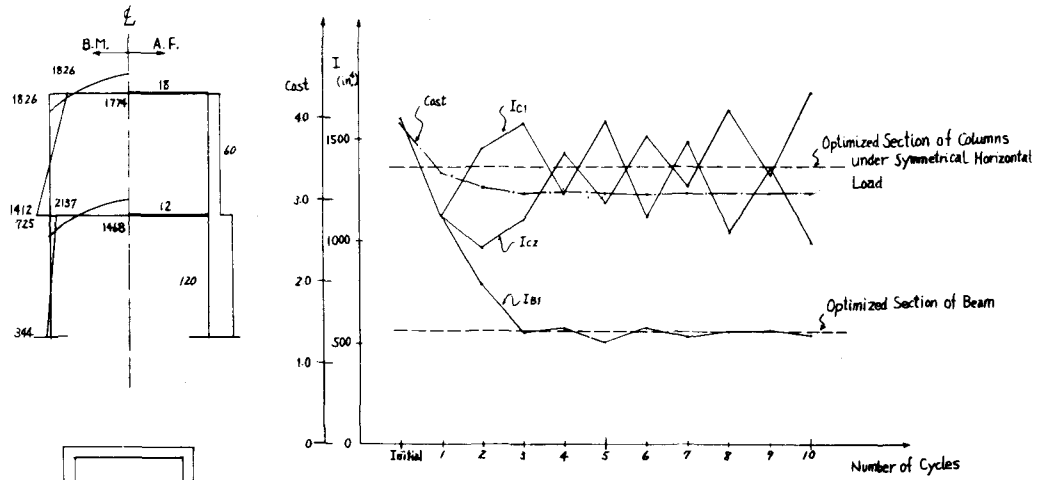


Fig. 5.5 Design Process of Example 4 (Without Adaptive Move Limits)

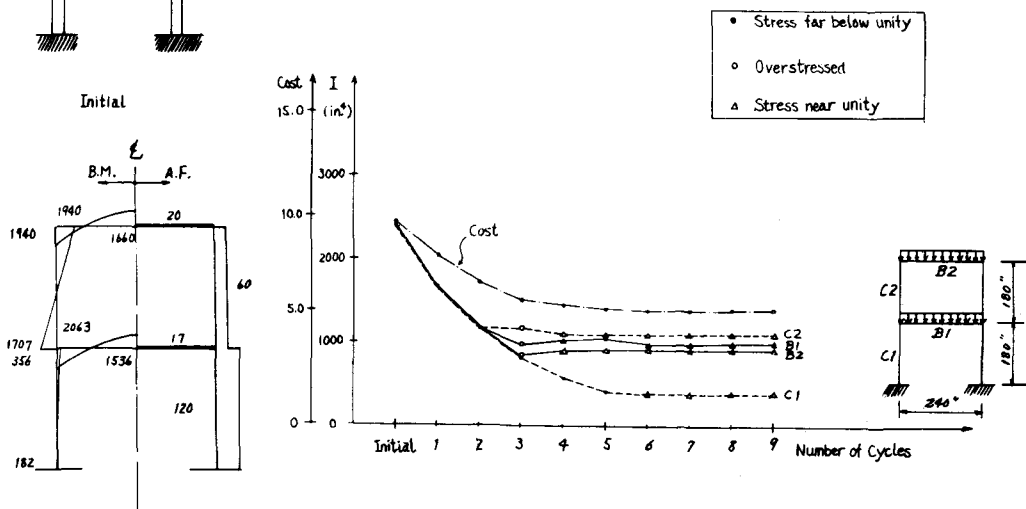


Fig. 5.6 Example 5

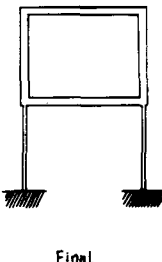


Fig. 5.7 Initial and Final Designs of Example 5

Cycle	Moments of Inertia				Spans		Weight of Structure
	I_{B1}	I_{B2}	I_{C1}	I_{C2}	L_1	L_2	
Initial	*1200	1200	1200	1200	240	240	8.204
1	11320	*1168	840	840	228	264	7.641
2	1369	1361	588	588	215	290	7.248
3	1459	1578	412	412	229	261	6.992
4	1474	1560	288	288	242	235	6.599
5	1507	1360	202	233	231	259	6.258
6	1538	1371	141	248	224	272	6.182
7	*1454	*1467	99	111	217	285	5.972
8	1524	1571	69	195	225	271	5.969
8(Stress)	0.971	0.953	0.934	0.908	—	—	

Table 5.3 Design Process of Example 7

この設計では、スパンも設計変数として考える。柱の断面は小さくなり、柱頭の曲げモーメントを、できるだけ少くしている。

その結果、構造は連続深のように収斂する。スパンの長さは Table 5.3 に示すように、 l は 220 in から 240 in の間で振動して収斂しないが、これは、設計がその辺でそれほど敏感に変わることを示している。

5.7 Example 8

構造規模：3スパン1層ラーメン

ン

荷重条件：#1 #2 荷重条件、柱頭に水平集中荷重 45 kips (対称的に左右から別々に載荷される。)

初期仮定断面： $I_c = 1,600 \text{ in}^3$
 $I_b = 1,600 \text{ in}^3$

初期スパン長： $l = 240 \text{ in}$
 外柱及び、外梁が 0 に近づき、水平荷重に對して内柱だけで抵抗するような構造に収斂している。
 これも、材料の集中化が經濟的な構造を導くことの一例である。

スパン長は、幾分内柱が外側による傾向を見られるが、それほど著しくない。

§ 6. 結論と今後の問題

この論文では、剛性マトリックス法による構造解剖に基く感度係数を利用し、繰返し、線形計画法を適用して平面ラーメンの最適設計を電子計算機で、自動的に行うことができるることを示した。

今後の問題としていくつが指摘

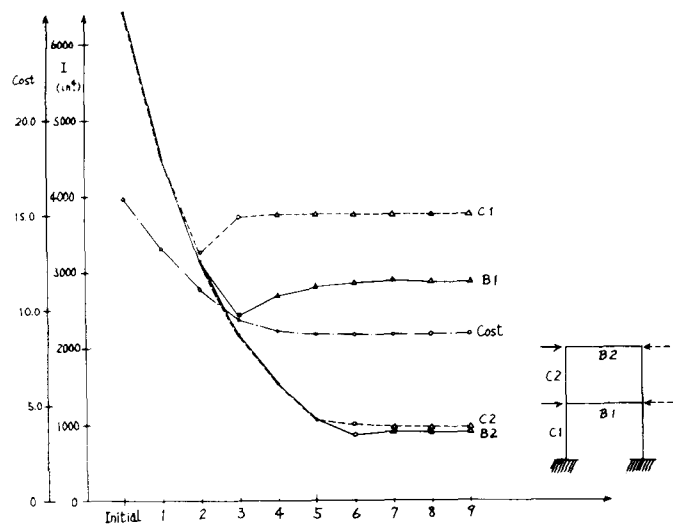
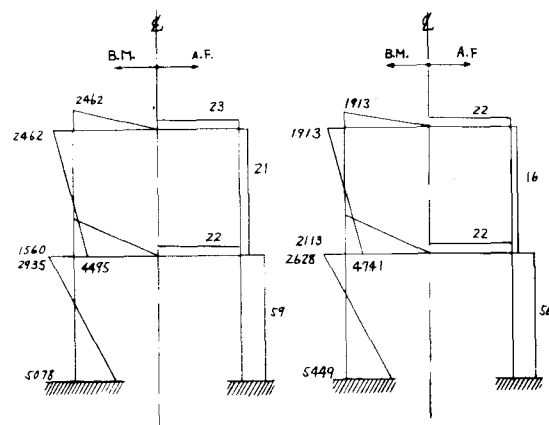


Fig. 5.8 Example 6



Initial Design

Optimum Design

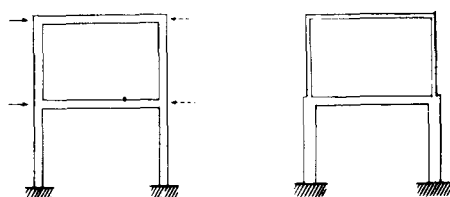


Fig. 5.9 Initial and Final Designs of Example 6

しよう。

線形計画法で最適解を解くために、感度係数を逆行列を用いて計算しているが、それにより、非常に大きな記憶容量を必要とする。I.B.M. 7094では、部材長を変数として3つの荷重条件をとった場合、外部記憶装置を使用しない時、せいぜい、3スパン1層、1スパン2層程度のラーメンしか設計できなかった。9サイクル迄で大体1分の計算時間である。従って、電子計算機が発達し、記憶容量が更に大きくなり、又更に高速な演算が可能になれば、大きな構造物でも設計可能になる。

この論文の例では、殆んど non-convex の問題はなく、比較的すなわち収斂しているが、もし、non-convex な問題に遭遇した場合、この方法では、必ず正解を得るという保証はない。非常に異った部材の組合せを仮定して、同じ最適設計に収斂するかを確かめる以外には、今のところ、対策はない。もし、異った桌に収斂した場合、複数の Local optimum point が存在する訳で、その内の最も適当な解を選ぶ他はない。

ここでは、Wide Flange Sectionが連續的に存在すると仮定しているが、実際は不連続な桌の集りであるため、厳密には、Integer Programmingによらねばならない。この面での発展があれば、直接に、実際の断面を用いて、最適設計が行えるようになるだろう。

又、Time-sharing systemにより、一層この方法は、効果が増大するであろう。計算の途中で収斂性を検討しながら Move Limit の調節、仮定設計断面の変更等が行え非常に良い設計が期待できる。

記号索引

A : 部材断面積

α_{ij} : 感度係数

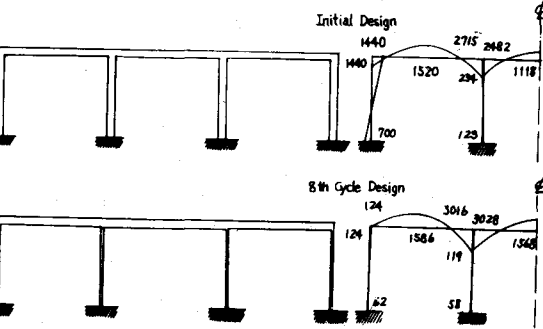


Fig. 5.10 Initial and Final Designs of Example 7

Cycle	Moment of Inertia				Spans		Weight of Structure
	I_{B1}	I_{B2}	I_{C1}	I_{C2}	L_1	L_2	
Initial	1600	1600	1600	1600	240	240	9.473
1	1120	1120	1120	1120	240	240	7.926
2	784	784	784	784	240	240	6.631
3	549	549	549	549	240	240	5.548
4	384	384	384	496	204	312	4.800
5	* 269	269	297	644	157	406	4.465
6	△ 294	188	208	801	204	311	4.395
7	244	* 132	146	993	251	218	4.283
8	224	△ 171	102	1117	239	241	4.274
9	157	217	71	1252	230	259	4.194
8 (Stress)	0.965	1.010	0.895	1.005	—	—	—

Table 5.4 Design Process of Example 8

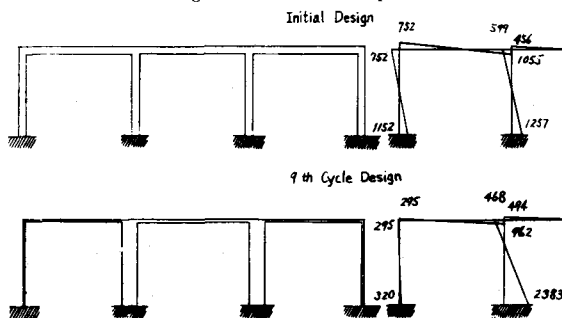


Fig. 5.11 Initial and Final Designs of Example 8

\mathbf{f}_j : 部材剛性マトリックス

\mathbf{L}_j : 各桌の部材剛性マトリックス

C_{AB} : Transfer Matrix
 \underline{D} : 部材変位マトリックス
 E : ヤング率
 F_a : 許容圧縮応力度
 \underline{F} : 部材応力マトリックス
 f_a : 存在圧縮応力度
 F_b : 許容曲げ応力度
 f_b : 存在曲げ応力度
 F_s : 許容引張応力度
 F_y : 材料降伏点
 I : 断面二次モーメント
 K : 壓屈長係数

参考文献

- 1) American Institute of Steel Construction, "Manual of Steel Construction", 1963
- 2) McMinn, S.J., "Matrices for Structural Analysis," John Wiley & Sons Inc. New York, 1962
- 3) Cornell, C.A., Reinschmidt, K.F., and Brotchie, J.F., "Structural Optimization" Tech. Rept. R 65-26 Part 2, Dept. of Civil Engineering, M.I.T. Cambridge, Mass. September 1965
- 4) Estrada-Ullegas, J. E., "Optimum Design of Planar Trusses Using Linear Programming," S.M. Thesis, Tech. Rept. T65-40, Dept. of Civil Engineering, M.I.T., September 1965
- 5) Nakamura, Y., "Optimum Design of Framed Structures Using Linear Programming," S.M. Thesis, Tech. Rept. T66-4, Dept. of Civil Engineering, M.I.T., January 1966

K : 全構造系の剛性マトリックス
 l : 部材長
 P : 外力マトリックス
 S : 部材せん断力
 S_x : 断面係数
 T : 回転マトリックス
 \underline{U} : 節点変位マトリックス
 X : 設計変数
 Y : 状態変数, function equation の値
 Z : 目的関数
 α : 部材の角度
 δ : 部材端の変位